

基于一维离散混沌映射的图像加密算法分析

李力, 朱从旭, 陈志刚

(中南大学信息科学与工程学院, 长沙 410083)

摘要: 指出文献[1]设计的加密算法中的替代变换算法不能抵抗已知明文攻击, 由极少的明密文对就可求出密钥; 且置换变换算法没有提供足够的密钥空间。据此提出了一种对该算法的攻击方案, 并用实例对该加密算法进行攻击, 证明攻击方案完全有效。同时, 也提出了对该算法的改进建议。

关键词: 混沌序列; 序列密码; 图像加密; SP网络

Image Encryption Algorithm Cryptanalysis Based on One-dimensional Discrete Chaotic Map

LI Li, ZHU Congxu, CHEN Zhigang

(School of Information Science & Engineering, Central South University, Changsha 410083)

【Abstract】 This paper points out that the substitute encryption algorithm proposed in reference 1 cannot resist known-plaintext attack. The analyses show that the key of this cipher can be found with very few known plaintext-cipher pairs; and the permutation algorithm is only provided with very small key space. So an attack scheme is proposed, and the example of the attack scheme successfully broke the encryption algorithm. A proposal for improvement algorithm is proposed, too.

【Key words】 Chaotic sequences; Sequence cipher; Image encryption; SP network

基于迭代的混沌映射产生的伪随机序列有以下特性: (1)长周期。理论上伪随机序列没有重复值, 但受计算机数据精度的限制, 其周期要远小于计算机所能表示数据的个数。(2)初值敏感性。初始值的微小改变, 经过一定次数的迭代后产生的序列值会完全不同。(3)系统参数敏感性。混沌系统参数的微小改变, 经过若干次数的迭代后产生的序列与原序列完全不同。(4)序列的产生速度快。(5)遍历性。对值域中的任意值, 都能在序列中找到与之无限接近的序列数。(6)不可预测性。只能对序列值短期预测, 长期预测不可能。将混沌映射的这些特点应用于加密解密, 产生的密码算法比现有的加密算法实现方便, 加解密速度快, 安全性高, 使得近年来混沌密码的研究成为密码研究领域的热点^[1-4]。近年来, 很多学者提出了不同的混沌密码方案。有些算法有很高的安全性, 但有些加密方案尚不够安全。

文献[1]提出了一种基于一维离散混沌映射的加密解密算法, 具有简单快速、非线性、初始值敏感等特性。但本文指出这种算法存在一定的安全漏洞, 在已知明文攻击下, 很容易被攻破。

1 基于随机密钥及类标准映射的图像加密算法简介

该算法的结构类似于Feistel网络结构中的SP网络结构, 分为替代变换和置换变换两部分, 用于加密图像, 图像为 $N \times N$ 的矩阵, $I(i, j)$ 为图像 (i, j) 点的像素值, L 为图像的灰度级数。先对像素值 $I(i, j)$ 进行替代变换, 再对位置点 (i, j) 进行置换变换, 迭代 r 轮后进行加解密^[1]。

其中替代变换算法如下:

$$I'(i, j) = I(i, j) + K(i, j) \text{ mod } L \quad (1)$$

$$X_n = \sin^2(\theta \pi \eta^n) \quad n = 1, 2, 3, \dots, N^2 \quad (2)$$

$$\theta = \frac{1}{\pi} \sin^{-1}(\sqrt{x_0}) \quad (3)$$

$$Y_n = \frac{2}{\pi} \sin^{-1}(\sqrt{x_n}) \quad n = 1, 2, 3, \dots, N^2 \quad (4)$$

$$K(i, j) = \text{round}((L-1)Y_n) \quad n = 1, 2, 3, \dots, N^2 \quad (5)$$

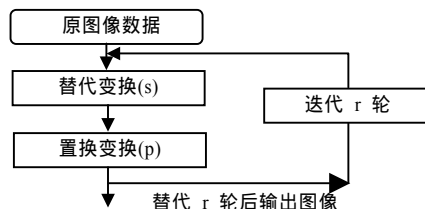


图1 原加密算法流程

加密过程, 首先由混沌映射式(2)产生一个伪随机序列 X_n , 经过式(4)处理为一致分布的混沌序列, 再经过式(5)转化为整数赋值给 $K(i, j)$, 最后由式(1)将像素值替代。其中, $\eta > 1$ 且不大, 密钥为 (X_0, η) 。

置换变换算法如下:

$$S1(i, j) = i + \phi(j) \text{ mod } N \quad (6)$$

$$S2(i, j) = j + \phi(S1) \text{ mod } N \quad (7)$$

$$\phi(x) = x + \text{round}(N * K_{1,n}) \text{ mod } N \quad (8)$$

$$n = 1, 2, 3, \dots, r$$

$$\phi(x) = x + \text{round}(N * K_{2,n}) \text{ mod } N \quad (9)$$

$$n = 1, 2, 3, \dots, r$$

$$K_{1,n} = \sin^2(b \arcsin(\sqrt{K_{1,n-1}})) \quad (10)$$

基金项目: 湖南省自然科学基金资助项目(03JJY4054)

作者简介: 李力(1974 -), 男, 讲师、硕士生, 主研方向: 混沌密码学, 信息安全; 朱从旭, 副教授; 陈志刚, 教授、博导

收稿日期: 2006-03-03 **E-mail:** lili62_cn@163.com

$$K_{2,n} = a^{K_{2,n-1}} \bmod 1 \quad (11)$$

置换变换将像素从位置点(i, j)移位到(S1, S2), r 为迭代的轮数, 密钥为(k_{1,0}, k_{2,0}, a, b)。算法流程如图 1 所示。

2 对该算法的分析

首先, 分析该算法的置换变换, 将置换变换中的式(8)和式(9)分别代入式(6)和式(7), 得

$$S1(i, j) = i + j + K_{1,1} \bmod N \quad (12)$$

$$S2(i, j) = 2 * j + i + K_{1,1} + K_{2,1} \bmod N \quad (13)$$

由此可见, 每一轮后, 新位置点的一维顺序m_i都可以表示成i, j 和k_{i, j}的固定函数:

$$m_i = ((p(i, j) + q(K_{n1,n2})) \bmod N) \cdot N + (p'(i, j) + q'(K_{n1,n2})) \bmod N \quad (14)$$

其中p, p'为只含i, j变量的表达式且modN的函数, q, q'为只含k_{n1, n2}变量且modN的函数。

由式(14)可知迭代r轮后, 新位置点的位置由q(k_{n1, n2})与q'(k_{n1, n2})确定, q(k_{n1, n2})与q'(k_{n1, n2})所有的不同值只有N × N个, 即新位置点的不同种类也只有N × N个, 而不是随机变换应有(N × N)!个。N × N是很小的一个数, 使用穷举方法, 几分钟就可找到正确的新位置点的位置。该算法的置换变换所提供的密钥空间太小, 不能保证数据的安全性。

再分析替代变换算法, 在算法中, 该文作者使用了称之为“完全不可预测”的离散混沌映射式(2), 该文以及文献[4]认为该序列的下一个值不能由序列的以前值预测, 并举例:

$\eta = 3/2, x_n, x_{n+1}$ 可表示为

$$x_n = 1 - t^2 \quad (15)$$

$$x_{n+1} = \frac{1}{2}(1+t)(1-2t)^2 \quad (16)$$

-1 < t < 1, 若想从x_n计算x_{n+1}则有两种可能:

$$x_{n+1} = \frac{1}{2}(1 \pm (1 - 4x_n)\sqrt{1 - x_n}) \quad (17)$$

因此从当前值不能预测下一个值。但该例只能证明当密码攻击者掌握的序列值不够多时, 无法预测序列值。而当密码攻击者掌握的序列值足够多时完全可以求得式(2)中的θ与η。比如该例中, 若密码攻击者知道从第n项开始的若干个序列值, 则由式(2)知:

$$\theta\pi\eta^n = k\pi \pm \sin^{-1}(\sqrt{x_n}) \quad k \in \mathbb{Z}^+ \quad (18)$$

由于0 < πηⁿ 为一有限值, 则式(18)的解集的个数有限, 再由式(17)知对式(18)的解集, x_{n+1}有两种可能, 则加入x_{n+1}的方程, 解集的个数成倍减小, 继续加入序列值, 可以求出唯一的θ与η值(见表 1)。更糟糕的是, 当密码攻击者掌握了序列的前 3 个点时, 由于0 < 1/2, η不大, 则仅 3 个点就可求出θ与η(由于图像文件的格式标志处于文件头, 这部分的明文容易猜出)。可见使用该一维离散混沌映射的替代算法也不安全。

又由式(1)知, 由明文对可推知k(i, j), 再由式(5)知, y_n约等于k(i, j)/(L-1)(当L很大时, 比如对于L=2³²+1, 并且数据使用单精度, 则二者没有误差; 而当L比较小时, 可求密钥的前若干数位的值^[6]), 又由式(4)可求得x_n。由此可知由明文对可推算出该一维离散混沌映射值(见式(19))。

$$\sum_{i=1}^{r-1} Y_i = \frac{I(i, j) - I'(i, j) + kL}{L-1} \quad k < r, k \in \mathbb{Z}^+ \quad (19)$$

将式(2)和式(4)代入式(19)得

$$\sum_{i=1}^{r-1} \frac{2}{\pi} \sin^{-1}(\sqrt{\sin^2(\theta\pi\eta^m)}) = \frac{I(i, j) - I'(i, j) + kL}{L-1} \quad k < r, k \in \mathbb{Z}^+ \quad (20)$$

其中m_i为该点在i轮时的顺序。式(20)可化简为式(21)。

表 1 方程解集的变化(η = 1.5, θ 为未知数)

序列点	方程 θ 的解集(K≤=4)	解集的个数
X1=0.975 528 2	0.3 0.366 666 7 1.633 333 1.7 2.966 667 3.033 33 4.3 4.366 67	8
X2=0.726 995 3	0.3 1.633 333 2.966 667 4.3	4
X3=1.541 331e-3	0.3 2.966 667	2
X4=0.99 653 42	0.3	1

$$\sum_{i=1}^r (-1)^{\text{int}(2\theta\eta^m)} (2\theta\eta^m - \text{int}(2\theta\eta^m) + \frac{1}{2}(1 - (-1)^{\text{int}(2\theta\eta^m)}) = \frac{I(i, j) - I'(i, j) + kL}{L-1} \quad (21)$$

int()为求整函数。将式(14)展开:

$$m_i = p(i, j) \cdot N + p'(i, j) + q(K_{n1,n2}) \cdot N + q'(K_{n1,n2}) \quad \text{or} \quad m_i = p(i, j) \cdot N + p'(i, j) + q(K_{n1,n2}) \cdot N + q'(K_{n1,n2}) - N^2 \quad \text{or} \quad m_i = p(i, j) \cdot N + p'(i, j) + q(K_{n1,n2}) \cdot N + q'(K_{n1,n2}) - N \quad \text{or} \quad m_i = p(i, j) \cdot N + p'(i, j) + q(K_{n1,n2}) \cdot N + q'(K_{n1,n2}) - N^2 - N \quad (22)$$

设q(k_{n1,n2}) × N + q'(k_{n1,n2})为T_i, 则每一轮的顺序可由一个变量决定点的位置。

综合以上分析, 对该加密算法可提出完整的已知明文攻击方法:

- (1)对已知明文穷举N × N种密文位置, 获得明文对。
- (2)每一个明文对, 推算出式(20)的右边的值(设为a_i)。
- (3)每一个明文对, 对应一个方程, 由所有的明文对列出如式(21)的方程组。该方程组有r+1个未知数, 则需要有r+1个明文对, 由于式(10)和式(11)的关系, 未知数的个数不会随r的变化而增加, 理想的情况下仅需6个方程就可求出任意r轮的密钥。
- (4)使用牛顿迭代法或其它方法解此非线性方程组, 求出T和θ, η。
- (5)用解得的密钥解密图像, 直到得到正确图像为止(见图 2)。

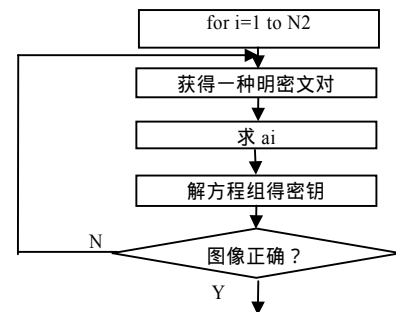


图 2 攻击算法流程

3 攻击实例

设r=2, θ=0.223 456 7, η=1.001 432, t₁=1(k₁, i=0, k_{2,1}=1), N=256, L=2³²+1, 并且数据使用单精度, 将图像pepper加密, 如图 3(a)所示。已知图像点(0,0), 点(0,1), 点(1,0)的像素值, 穷举 65 536 种密文位置后, 由其中一种正确的明文对推算出a₁=1.107 688 8, a₂=1.548 374 6, a₃=1.978 115 1 (a₁, a₂, a₃还可能等于 0.107 688 8, 0.548 374 6, 0.978 115 1 但获得的解不能解密图像)。列出的方程组如下:

$$\begin{cases}
(-1)^{\text{int}(2\theta\eta)}(2\theta\eta - \text{int}(2\theta\eta)) + \\
(-1)^{\text{int}(2\theta\eta^{t_1+1})}(2\theta\eta^{t_1+1} - \text{int}(2\theta\eta^{t_1+1})) + \\
\frac{1}{2}(2 - (-1)^{\text{int}(2\theta\eta)} - (-1)^{\text{int}(2\theta\eta^{t_1+1})}) = a_1 \\
(-1)^{\text{int}(2\theta\eta^2)}(2\theta\eta^2 - \text{int}(2\theta\eta^2)) + \\
(-1)^{\text{int}(2\theta\eta^{t_1+258})}(2\theta\eta^{t_1+258} - \text{int}(2\theta\eta^{t_1+258})) + \\
\frac{1}{2}(2 - (-1)^{\text{int}(2\theta\eta^2)} - (-1)^{\text{int}(2\theta\eta^{t_1+258})}) = a_2 \\
(-1)^{\text{int}(2\theta\eta^6)}(2\theta\eta^6 - \text{int}(2\theta\eta^6)) + \\
(-1)^{\text{int}(2\theta\eta^{t_1+257})}(2\theta\eta^{t_1+257} - \text{int}(2\theta\eta^{t_1+257})) + \\
\frac{1}{2}(2 - (-1)^{\text{int}(2\theta\eta^6)} - (-1)^{\text{int}(2\theta\eta^{t_1+257})}) = a_3
\end{cases} \quad (23)$$

使用牛顿迭代法, θ 初值为 0.22, η 初值为 1.001, t_1 初值为 0, $\text{int}(x)$ 的导数为 0。求得结果为 $\theta = 0.223\ 456\ 7$, $\eta = 1.025\ 432$, $t_1 = 1$, 破译的结果如图 3(b)所示。结果完全正确, 说明算法分析的攻击方法有效。

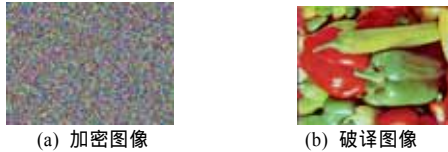


图 3 加密图像与破译图像

4 建议改进方案

原算法的安全漏洞: (1)替代算法的混沌加密不能抵御已知明文攻击; (2)替换算法的混沌替换只提供了很小的密钥空间, 不能抵抗穷举攻击。本文建议修改其替代变换算法和置换变换算法, 首先使用分段线性映射式(24)经过多次迭代前馈的一维离散混沌算法^[7]来代替式(2)的算法。

$$X_{n+1} = \begin{cases} X_n / p, & 0 \leq X_n < p \\ (X_n - p) / (0.5 - p), & p \leq X_n < 0.5 \\ F(1 - X_n), & X_n \geq 0.5 \end{cases} \quad (24)$$

使用式(24)时, 采用多次迭代进行前馈, 即 $X_{n+1} = F^m(X_n)$, 迭代的次数 m 如果大于数据的实现精度, 则可抵御已知明文攻击。事实上, 即使攻击者知道多个经过 m 次迭代的混沌序列值, 由于 X_{n+1} 与 X_n 之间可能的分段种类有 4^m 种, 比穷举密钥的次数还多, 又任意 X_{n+1} 与 X_n 之间的分段都不同, lyapunov 指数也求不出来, 因此已知明文攻击无效。其次本

(上接第 158 页)

表 23 种算法实现 $GF(2^{83})$ 的比较

算法	Les(个)	时间(μ s)	反向时间(μ s)	说明
1	999	13.50	2.96	未用桶移
2	650	3.10	2.42	
3	683	2.44	1.89	

在 Cantor 的论文中, 113 位的求逆器平均需要 396 个周期, 频率可以达到 96MHz, 而使用的逻辑单元有 1 631 个。本文中采用改进的算法也实现了 113 位的求逆器, 使用的逻辑单元仅有 910 个, 频率可以达 100MHz, 平均计算周期仅 300 个。Cantor 的数据表明, 他在移位时使用了桶式移位器。然而, 即使这样, 4 个 μ s 左右的周期与本文相比也是较慢的。

4 总结

HECC 应用需要大量快速的模块, 有限域求逆是其中非常重要的一个模块。优化的 MAIA 算法可以有效地利用随机数相邻两位为 0 的概率较大的这个特点, 使用并行结构加速有限域的求逆运算。同时, 优化的 MAIA 算法改进了以往算法, 将 deg_u 和 deg_v 分开考虑的缺陷, 省去了求 deg_v 的模块, 节约了大量的芯片资源。进一步的研究可以考虑加大

文建议将置换算法进行如下修改: 每轮迭代替换之前, 由式(11)产生一个不同的混沌序列数, 将其作为式(10)的初始值, 由式(10)产生 N^2 个混沌序列数, 将这 N^2 个不相等的混沌序列数由小到大排序, 序列的原顺序与排序后顺序形成的一对一映射作为置换变换。新的置换变换的种类有 $(N^2)!$ 个, 穷举攻击完全无效。经过如上修改, 该加密算法的安全性得到很大提高。

5 结论

通过已知明文攻击, 对比于差分密码分析方法攻击 DES 需 2^{47} 个明文^[5], 而本文分析的算法只需要很少的已知明文密文对 (如理想情况下只要 3 组) 就能攻破原加密算法, 说明该算法存在一定的安全漏洞。该文作者为该算法设置了 6 个实数的密钥, 实际只提供了很小的密钥空间, 没有起到应有的加密效果。本文建议修改其替代变换算法和置换变换算法, 改进后的方案将大大提高该算法的安全性。

参考文献

- 李昌刚, 韩正之, 张浩然. 一种基于随机密钥及类标准映射的图像加密算法[J]. 计算机学报, 2003, 26(4): 465-410.
- 朱从旭, 陈志刚. 一种基于组合外密钥和明文的离散混沌密码算法[J]. 计算机工程与应用, 2004, 40(24): 91-93.
- Alvarez G, Montoya F, Romera M. Keystream Cryptanalysis of A Chaotic Cryptographic Method[J]. Computer Physics Communications, 2004, 156(2): 205-207.
- Jorge A G. Absolutely Unpredictable Chaotic Sequence[J]. International Journal of Bifurcation and Chos, 1999, 9(6): 1121-1135.
- 冯登国. 分组密码的分析和设计[M]. 北京: 清华大学出版社, 2000.
- 金晨辉. 一个基于混沌的分组密码算法的分析[J]. 中国工程科学, 2001, 3(6): 75-80.
- 周红, 俞军, 凌雯亭. 混沌前馈型流密码设计[J]. 电子学报, 1998, 26(1): 98-101.
- Goce J, Ljupco K. Analysis of Some Recently Proposed Chaos-based Encryption Algorithms[J]. Physics Letter A, 2001, 291(6): 381-384.

并行度, 例如可以连续判断低 4 位的情况。另外, 在硬件的实现上, 如何使流程更合理, 从而加大数据的吞吐量也是值得进一步研究的问题。总之, 本文提出的算法, 较以往的算法无论在速度上还是在面积上都有改进。相信这种改进的算法可以在今后的 HECC 实现中得到大量的应用。

参考文献

- Hankerson D, Hernandez J L, Menezes A. Software Implementation of Elliptic Curve Cryptography over Binary Fields[C]. Proc. of the 2nd International Workshop on Cryptographic Hardware and Embedded Systems, Berlin, 2000: 1-24.
- Clancy T. Analysis of FPGA-based Hyperelliptic Curve Cryptosystems[D]. Urbana-Champaign, Illinois: University of Illinois, 2002.
- Chang H K, Soonhak K, Jong J K, et al. A New Arithmetic Unit in $GF(2^M)$ for Reconfigurable Hardware Implementation[M]. Berlin Heidelberg: Springer-Verlag, 2003.
- 张方国. 超椭圆曲线密码体制的研究[D]. 西安: 西安电子科技大学, 2001.

